

3 OS MANCAIS HIDRODINÂMICOS

3.1 Introdução

Os mancais hidrodinâmicos são largamente empregados em turbomáquinas por permitirem altas cargas em altas velocidades. Além disso, a vida de um mancal de deslizamento é, teoricamente, infinita, uma vez que não existe contato entre peças com movimento relativo, garantindo longa continuidade operacional.

Este capítulo analisa a teoria básica da lubrificação e, a partir da Equação de Reynolds estuda o mecanismo de formação da pressão de sustentação da carga dos mancais, determinando as propriedades de rigidez e amortecimento.

As seções 3.3 e 3.4 são um resumo dos textos de Allaire [24] e Cameron [25].

3.2 A Teoria da Lubrificação

A lubrificação consiste na interposição de um fluido lubrificante entre superfícies que possuem movimento relativo, com o objetivo de reduzir o coeficiente de atrito, evitando, conseqüentemente, o desgaste.

A viscosidade é uma das propriedades mais importantes de um lubrificante. Seu significado fundamental pode ser ilustrado considerando-se duas placas paralelas: uma fixa e a outra móvel sob a ação de uma força P , paralela à placa fixa e separadas por uma película de lubrificante de espessura h , conforme ilustrado na figura 3.1.

As partículas do lubrificante aderem às placas fixa e móvel. O movimento é acompanhado por um escorregamento linear ou cisalhamento das partículas do lubrificante através de toda a altura h da película. Sendo A

a área de contato da placa com o fluido, a tensão cisalhante será igual a

$$\tau = \frac{P}{A}$$

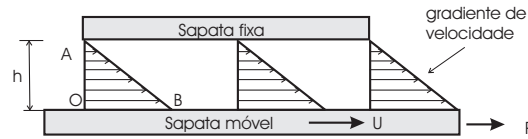


Figura 3.1: Cisalhamento do filme de óleo

Esta tensão cisalhante varia de forma diretamente proporcional à velocidade U da placa móvel e inversamente à espessura h da película.

Define-se

$$\mu = \frac{P/A}{U/h} = \frac{\text{tensão de cisalhamento}}{\text{gradiente de velocidade}}$$

onde μ é a constante de proporcionalidade, conhecida como viscosidade.

Quando a sapata fixa é paralela à que se move, como no caso da figura 3.1, as velocidades das várias lâminas de fluido são proporcionais à sua distância à sapata fixa e a área do triângulo OAB é proporcional ao volume de fluido que passa por uma seção unitária na unidade de tempo. Neste caso, a sapata fixa não sustenta nenhum esforço vertical. Se a sapata fixa for inclinada de tal modo que a espessura da película varie de h_1 na seção onde o óleo entra, até h_2 por onde o óleo sai, o gradiente de velocidade variará ao longo da placa. A curva representativa da variação da velocidade é côncava na entrada e convexa na saída, como mostrado na figura 3.2. Os diagramas não são mais triangulares, mas devem ter todos a mesma área, desde que não haja fuga de lubrificante. Assim, a carga w será suportada pela pressão gerada entre as sapatas no filme fluido como indicado na figura 3.2.

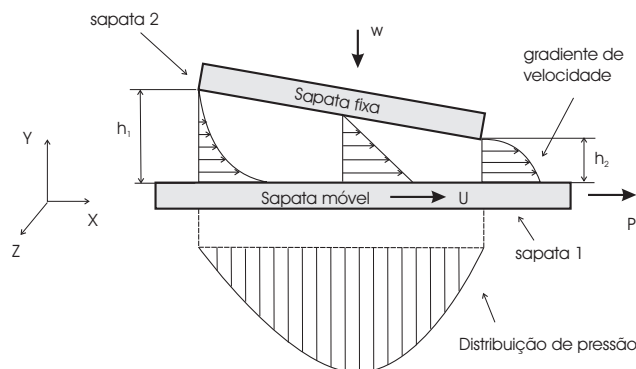


Figura 3.2: Sapata deslizante inclinada

3.3

A Equação de Reynolds

A equação de Reynolds é deduzida a partir da condição de equilíbrio de um elemento infinitesimal (figura 3.3) sob a ação de tensões de cisalhamento viscoso τ e da pressão p do fluido.

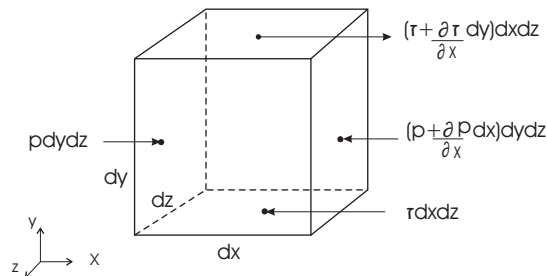


Figura 3.3: Equilíbrio de um elemento infinitesimal

Supõem-se as seguintes hipóteses na dedução da equação:

1. Campos externos como o magnético e gravitacional são desprezados.
2. A pressão ao longo da espessura do filme lubrificante é considerada constante, uma vez que tal espessura é muito pequena (da ordem de centésimos de milímetro).
3. As curvaturas da superfície do mancal são consideradas muito grandes comparadas com a espessura do filme, o que significa que a direção da velocidade das lâminas é considerada constante.
4. Não existe deslizamento na interface fluido-sólido, o que significa que a velocidade da superfície é a mesma da última lâmina adjacente de lubrificante.
5. O lubrificante é Newtoniano.
6. O fluxo é laminar.
7. A viscosidade do filme lubrificante não varia, mantidas constantes a carga e a velocidade.
8. A inércia do fluido é desprezada.

Considerando a equação da continuidade

$$\frac{\partial q_x}{\partial x} + \frac{\partial q_y}{\partial y} + \frac{\partial q_z}{\partial z} = 0 \quad (3-1)$$

onde q é a vazão nas direções X, Y e Z ,
chega-se à Equação de Reynolds em três dimensões

$$\frac{\partial}{\partial x} \left(h^3 \frac{\partial p}{\partial x} \right) + \frac{\partial}{\partial z} \left(h^3 \frac{\partial p}{\partial z} \right) = 6\mu \left[\frac{\partial}{\partial x} h(U_1 + U_2) + \frac{\partial}{\partial z} h(W_1 + W_2) + 2(V_1 - V_2) \right] \quad (3-2)$$

onde,

U - velocidade da superfície na direção X

V - velocidade da superfície na direção Y

W - velocidade da superfície na direção Z

Em geral, não existe movimento dos mancais na direção Z , portanto, $W_1 = W_2 = 0$. Nas direções X e Y , somente uma das superfícies se move, toma-se então, $U_2 = V_2 = 0$.

Assim, fazendo $U_1 = U$ e $V_1 = V$, a equação 3-2 reduz-se a

$$\frac{\partial}{\partial x} \left(h^3 \frac{\partial p}{\partial x} \right) + \frac{\partial}{\partial z} \left(h^3 \frac{\partial p}{\partial z} \right) = 6\mu \left(2V + \frac{\partial(Uh)}{\partial x} \right) \quad (3-3)$$

Efetuando a derivada do segundo membro, obtém-se

$$\frac{\partial}{\partial x} \left(h^3 \frac{\partial p}{\partial x} \right) + \frac{\partial}{\partial z} \left(h^3 \frac{\partial p}{\partial z} \right) = 6\mu \left(2V + U \frac{\partial h}{\partial x} + h \frac{\partial U}{\partial x} \right) \quad (3-4)$$

Quando atuam somente cargas estáticas no mancal, como o peso do rotor, por exemplo, haverá equilíbrio e o termo de velocidade V será nulo. Se, por outro lado, considerarmos cargas dinâmicas como a força resultante de um desbalanceamento do rotor, o eixo oscilará em torno de uma posição de equilíbrio, produzindo o efeito conhecido como “*squeeze*” (esmagamento do filme). Outro exemplo é o mancal que apóia o virabrequim de máquinas alternativas, como motores a explosão ou compressores alternativos, nos quais a direção e amplitude da carga mudam constantemente com a posição angular do virabrequim.

Duas aproximações são usadas para se obter uma solução analítica de problemas de mancal, a saber: mancal curto, em que a largura B é muito menor que o comprimento L , e o mancal longo, no qual $B \gg L$. Será considerado aqui, somente o primeiro caso já que o mancal objeto dos experimentos será o curto.

3.3.1 Solução para Mancais Curtos

Mancais cuja dimensão na direção Z é bem menor que na direção X , como mostrado na figura 3.4, são considerados curtos. Assim sendo, o pico de pressão deve cair mais rapidamente para a pressão ambiente p_a na direção Z do que na direção X . Logo, como o gradiente de pressão $\partial p/\partial z$ é muito maior que o gradiente de pressão $\partial p/\partial x$, o primeiro termo do lado esquerdo da equação 3-4 pode ser desprezado. Se considerarmos apenas carga estática, não haverá movimento na direção Y , portanto $V = 0$, ficando, então

$$\frac{\partial}{\partial z} \left(h^3 \frac{\partial p}{\partial z} \right) = 6\mu U \frac{\partial h}{\partial x} \quad (3-5)$$

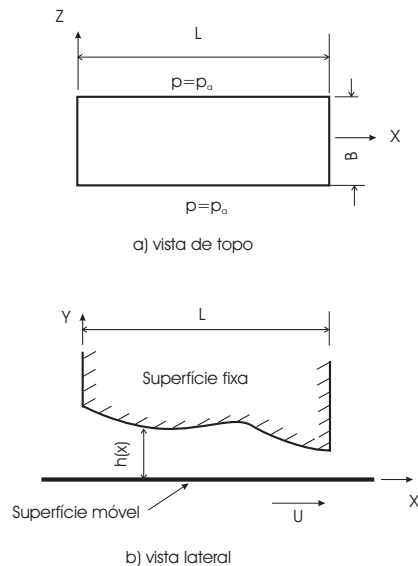


Figura 3.4: Mancal curto $B \ll L$

Como h é apenas função de x , a equação 3-5 torna-se

$$\frac{d^2 p}{dz^2} = 6U\mu \frac{dh/dx}{h^3} \quad (3-6)$$

que, integrando, obtém-se

$$\frac{dp}{dz} = 6U\mu \frac{dh/dx}{h^3} \frac{z^2}{2} + c_1 z + c_2 \quad (3-7)$$

onde c_1 e c_2 são as constantes de integração, obtidas aplicando-se as condições de contorno. Considerando a origem do sistema de coordenadas na metade da largura B , elas são

$$p = p_a = 0, \quad \text{para } z = B/2 \quad \text{e} \quad z = -B/2 \quad (3-8)$$

Então,

$$p = 3\mu U \frac{dh/dx}{h^3} \left(z^2 - \frac{B^2}{4} \right) \quad (3-9)$$

A equação 3-9 confirma o que foi dito na seção 3.2, ou seja, se $dh/dx = 0$ (superfícies paralelas), a pressão será nula, não havendo, portanto, capacidade de sustentação de carga no mancal.

A capacidade de carga do mancal será dada por

$$w = \int_{-\frac{L}{2}}^{\frac{L}{2}} \int_{-\frac{B}{2}}^{\frac{B}{2}} p \, dz \, dx$$

3.4

Mancais Radiais

Um mancal radial é composto por um alojamento com superfície curva (cilíndrica, elíptica ou multilobular) e um eixo em seu interior, ambos separados por um fluido lubrificante, conforme mostrado na figura 3.5 nas posições de repouso, início de movimento e em movimento. Nas duas primeiras posições há contato direto do munhão (parte do eixo dentro do mancal) com as paredes do mancal.

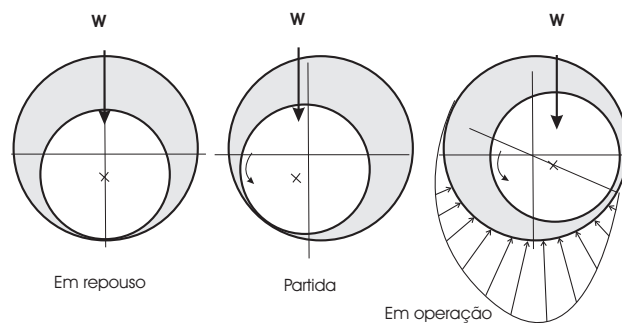


Figura 3.5: Funcionamento do mancal radial

O fluido é forçado para a região abaixo do munhão devido às forças de cisalhamento geradas pela rotação do eixo. Isto gera alta pressão no fundo do eixo similar à da sapata deslizante mostrada na figura 3.2. Esta alta pressão suporta o peso do rotor, impedindo que o munhão toque a superfície do mancal.

Consideremos, conforme ilustrado na figura 3.6, um eixo circular de raio R , girando a uma velocidade angular absoluta Ω em um mancal cilíndrico de raio $R + f$ e largura B na direção Z . As coordenadas do centro C do eixo são dadas por x_c e y_c em um sistema inercial com origem no centro

do mancal que é designado por O . A distância entre o centro do munhão e o centro do mancal é definida como excentricidade e . Será definida uma coordenada angular θ , medida a partir da posição de espessura máxima do filme, que se localiza onde a extensão da linha \overline{CO} corta a superfície do mancal em B . Se considerarmos um ponto D qualquer no mancal, observa-se que o ângulo $\widehat{BCD} = \theta$ possui o vértice em C .

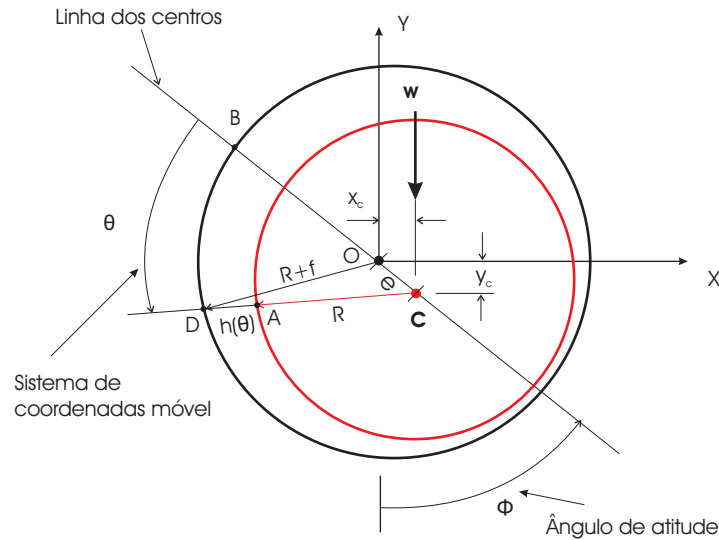


Figura 3.6: Geometria do mancal radial

A linha \overline{CD} corta a superfície do munhão em A e $\overline{AD} = h(\theta)$ é a espessura do filme, determinada aplicando-se a lei dos cossenos no triângulo COD , como segue.

$$\begin{aligned} (R + f)^2 &= e^2 + (R + h)^2 - 2e(R + h) \cos \theta \\ R^2 + 2Rf + f^2 &= e^2 + R^2 + 2Rh + h^2 - 2eR \cos \theta - 2eh \cos \theta \end{aligned} \quad (3-10)$$

Simplificando e desprezando os termos de segunda ordem f^2 , e^2 , h^2 e eh , obtém-se

$$h = f + e \cos \theta = f(1 + \varepsilon \cos \theta) \quad (3-11)$$

onde $\varepsilon = e/f$ é conhecida como razão de excentricidade.

A expressão exata da espessura será aqui desenvolvida para efeito de comparação com a aproximação. Assim, desenvolvendo 3-10, encontramos uma equação do segundo grau na espessura exata h_e

$$h_e^2 + 2(R - e \cos \theta)h_e - 2eR \cos \theta + e^2 - f^2 - 2Rf = 0 \quad (3-12)$$

cuja raiz positiva é

$$h_e = e \cos \theta - R + \sqrt{(R + f)^2 - e^2 \sin^2 \theta} \quad (3-13)$$

Fazendo as adimensionalizações de 3-13 com $\bar{f} = f/R$ e $\varepsilon = e/f$, obtém-se

$$h_e = f \left(\frac{\sqrt{(\bar{f} + 1)^2 - (f\varepsilon)^2 \sin^2 \theta} - 1}{\bar{f}} + \varepsilon \cos \theta \right) \quad (3-14)$$

O gráfico 3.7 compara o erro percentual ($h_e - h$) em um mancal de 20 mm de diâmetro para diferentes razões de excentricidade ε . Conclui-se que o erro é nulo em $\theta = 0$ e $\theta = \pi$, tende a zero quando ε tende a zero e é máximo quando ε tende a 1.

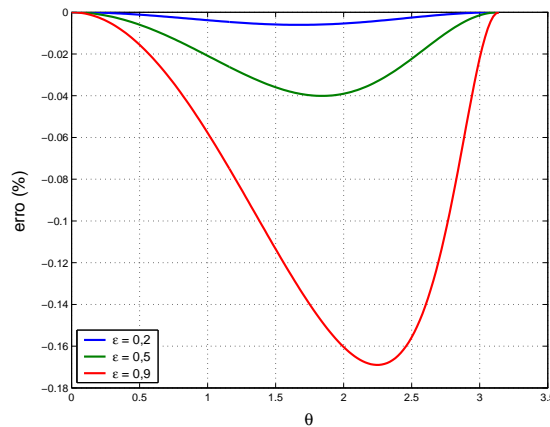


Figura 3.7: Erro da aproximação da espessura do filme

A carga do mancal w é tomada verticalmente de cima para baixo e corresponde à metade do peso do rotor, suportado por dois mancais. O ângulo de atitude ϕ é o ângulo entre a linha de carga e a linha dos centros \overline{OC} .

Daí pode-se tirar as seguintes relações trigonométricas da figura 3.6

$$e = \sqrt{x_c^2 + y_c^2} \quad (3-15)$$

$$x_c = e \sin \phi; \quad y_c = -e \cos \phi$$

O mancal é analisado considerando o que foi estabelecido na figura 3.4, substituindo-se a coordenada x pela coordenada θ conforme indicado na figura 3.8. Mais adiante será visto que será considerado somente o intervalo de 0 a π .

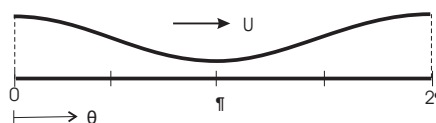


Figura 3.8: Desenvolvimento do filme de óleo

A equação de Reynolds em coordenadas cilíndricas para o mancal radial é encontrada fazendo-se $x = R\theta$ em 3-4. Assim,

$$\frac{1}{R^2} \frac{\partial}{\partial \theta} \left(h^3 \frac{\partial p}{\partial \theta} \right) + \frac{\partial}{\partial z} \left(h^3 \frac{\partial p}{\partial z} \right) = 6\mu \left(2V + \frac{U}{R} \frac{\partial h}{\partial \theta} + \frac{h}{R} \frac{\partial U}{\partial \theta} \right) \quad (3-16)$$

Se considerarmos o mancal curto desprezando o primeiro termo do lado esquerdo, a equação 3-16 reduz-se a

$$\frac{\partial}{\partial z} \left(h^3 \frac{\partial p}{\partial z} \right) = 6\mu \left(2V + \frac{U}{R} \frac{\partial h}{\partial \theta} + \frac{h}{R} \frac{\partial U}{\partial \theta} \right) \quad (3-17)$$

cujas condições de contorno em Z são

$$p = p_a(z = -B/2); \quad p = p_a(z = B/2) \quad (3-18)$$

suficientes para calcular o mancal curto

Para o cálculo dos termos de velocidade U e V , componentes do vetor \mathbf{v}_A , dado por 3-19, ilustramos na figura 3.9 o vetor excentricidade em uma posição genérica e os sistemas móveis de referência $R(X_1Y_1)$ e $S(X_2Y_2)$.

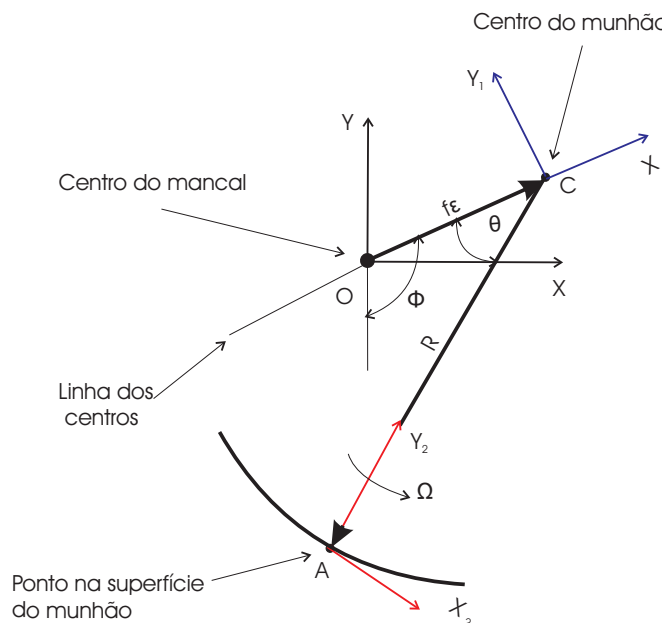


Figura 3.9: Cinemática para definição de U e V

Embarcando no sistema de referência R e escrevendo os vetores com componentes em S :

$${}^S \mathbf{v}_A = {}^S \mathbf{v}_C + {}^S \tilde{\omega}_R {}^S \mathbf{r}_{CA} + {}^S \mathbf{v}_{relA} \quad (3-19)$$

$$\text{onde } {}^S\boldsymbol{\omega}_R = \begin{pmatrix} 0 \\ 0 \\ \dot{\phi} \end{pmatrix}$$

A velocidade do ponto C é facilmente escrita em R

$$\mathbf{s}_{\mathbf{v}_C} = \begin{pmatrix} f\dot{\varepsilon} \\ f\varepsilon\dot{\phi} \\ 0 \end{pmatrix} \quad (3-20)$$

e pode ser transformada para S com ajuda da matriz de transformação de coordenadas ${}^S T^R$, $\mathbf{s}_{\mathbf{v}_C} = {}^S T^R R \mathbf{v}_C$

$$\begin{aligned} \mathbf{s}_{\mathbf{v}_C} &= \begin{bmatrix} \cos(\theta - \frac{\pi}{2}) & \sin(\theta - \frac{\pi}{2}) & 0 \\ -\sin(\theta - \frac{\pi}{2}) & \cos(\theta - \frac{\pi}{2}) & 0 \\ 0 & 0 & 1 \end{bmatrix} \begin{pmatrix} f\dot{\varepsilon} \\ f\varepsilon\dot{\phi} \\ 0 \end{pmatrix} = \\ &= \begin{bmatrix} \sin\theta & -\cos\theta & 0 \\ \cos\theta & \sin\theta & 0 \\ 0 & 0 & 1 \end{bmatrix} \begin{pmatrix} f\dot{\varepsilon} \\ f\varepsilon\dot{\phi} \\ 0 \end{pmatrix} = \begin{pmatrix} f\dot{\varepsilon}\sin\theta - f\varepsilon\dot{\phi}\cos\theta \\ f\dot{\varepsilon}\cos\theta + f\varepsilon\dot{\phi}\sin\theta \\ 0 \end{pmatrix} \end{aligned} \quad (3-21)$$

A componente da velocidade devido à rotação do SR R :

$${}^S \tilde{\boldsymbol{\omega}}_R \mathbf{s}_{\mathbf{C}r_A} = \begin{bmatrix} 0 & -\dot{\phi} & 0 \\ \dot{\phi} & 0 & 0 \\ 0 & 0 & 0 \end{bmatrix} \begin{pmatrix} 0 \\ -R \\ 0 \end{pmatrix} = \begin{pmatrix} \dot{\phi}R \\ 0 \\ 0 \end{pmatrix} \quad (3-22)$$

Embarcando em R , o movimento de um ponto na superfície do munhão ocorre com uma velocidade angular de módulo $\Omega - \dot{\phi}$

$${}^S \mathbf{v}_{\text{relA}} = \begin{bmatrix} 0 & \dot{\phi} - \Omega & 0 \\ \Omega - \dot{\phi} & 0 & 0 \\ 0 & 0 & 0 \end{bmatrix} \begin{pmatrix} 0 \\ -R \\ 0 \end{pmatrix} = \begin{pmatrix} R(\Omega - \dot{\phi}) \\ 0 \\ 0 \end{pmatrix} \quad (3-23)$$

Somando 3-21, 3-22 e 3-23, tem-se

$$\mathbf{s}_{\mathbf{v}_A} = \begin{pmatrix} f\dot{\varepsilon}\sin\theta - f\varepsilon\dot{\phi}\cos\theta + \Omega R \\ f\varepsilon\dot{\phi}\sin\theta + f\dot{\varepsilon}\cos\theta \\ 0 \end{pmatrix} \quad (3-24)$$

Assim,

$$\begin{aligned} U &= f\dot{\varepsilon}\sin\theta - f\varepsilon\dot{\phi}\cos\theta + \Omega R \\ V &= f\varepsilon\dot{\phi}\sin\theta + f\dot{\varepsilon}\cos\theta \end{aligned} \quad (3-25)$$

Efetuada as derivações constantes do segundo membro de 3-17,

$$\frac{\partial h}{\partial \theta} = -f \cos \theta \quad (3-26)$$

$$\frac{\partial U}{\partial \theta} = f\dot{\varepsilon} \cos \theta + f\varepsilon\dot{\phi} \sin \theta$$

Substituindo 3-26 e 3-11 na equação 3-17, obtém-se

$$\begin{aligned} \frac{\partial}{\partial z} \left(h^3 \frac{\partial p}{\partial z} \right) &= 6\mu f [2\dot{\varepsilon} \cos \theta + 2\dot{\phi} \varepsilon \sin \theta - \varepsilon \sin \theta (f\dot{\varepsilon} \sin \theta - f\varepsilon\dot{\phi} \cos \theta + \Omega R) / R \\ &+ f(1 + \varepsilon \cos \theta)(\dot{\varepsilon} \cos \theta + \varepsilon\dot{\phi} \sin \theta) / R] \end{aligned} \quad (3-27)$$

Efetuada as operações em 3-27, desprezando os termos de f^2/R e lembrando que a espessura h não varia com a coordenada z , obtém-se

$$\frac{\partial}{\partial z} \left(\frac{\partial p}{\partial z} \right) = \frac{6\mu f [2\dot{\varepsilon} \cos \theta + \varepsilon(2\dot{\phi} - \Omega) \sin \theta]}{h^3} \quad (3-28)$$

que pode ser facilmente integrada, aplicando-se as condições de contorno 3-18 para resultar em

$$p(\theta, z) = \frac{3\mu [2\dot{\varepsilon} \cos \theta + \varepsilon(2\dot{\phi} - \Omega) \sin \theta]}{f^2(1 + \varepsilon \cos \theta)^3} \left(z^2 - \frac{B^2}{4} \right) + p_a \quad (3-29)$$

Se considerarmos carga puramente estática, temos $\dot{\varepsilon} = 0$ e $\dot{\phi} = 0$, e a equação 3-29 reduz-se a

$$p(\theta, z) = -\frac{3\mu\varepsilon\Omega \sin \theta}{f^2(1 + \varepsilon \cos \theta)^3} \left(z^2 - \frac{B^2}{4} \right) + p_a \quad (3-30)$$

Todos os termos de 3-30 são positivos, exceto $\sin \theta$, que é positivo para $0 < \theta < \pi$ e negativo para $\pi < \theta < 2\pi$. Como o líquido não pode suportar pressão negativa, forma-se uma região de vapor oriundo do óleo. A pressão de vapor nunca cai abaixo da pressão de vapor do lubrificante. Geralmente, a pressão da região sujeita à cavitação é constante, denotada por p_{cav} e é tomada aproximadamente igual a zero. Na solução da Equação de Reynolds, a qualquer valor com pressão negativa atribui-se p_{cav} . Assim,

$$p = \begin{cases} -\frac{3\mu\Omega f \varepsilon \sin \theta}{f^2(1 + \varepsilon \cos \theta)^3} \left(z^2 - \frac{B^2}{4} \right) + p_a, & 0 < \theta < \pi \\ 0, & \pi < \theta < 2\pi \end{cases} \quad (3-31)$$

A figura 3.10 mostra o perfil da distribuição de pressão em volta do munhão.

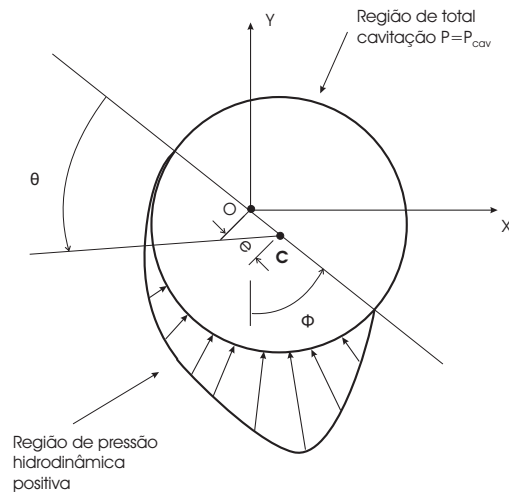


Figura 3.10: Distribuição de pressão no mancal radial

3.4.1 Forças agindo sobre o munhão

As forças calculadas no sistema de coordenadas móvel R são denotadas por força radial F_r , direção da mínima espessura de filme, e força tangencial F_t a 90° de F_r . Também podem ser calculadas no sistema fixo, denotadas por F_x e F_y conforme ilustradas na figura 3.11.

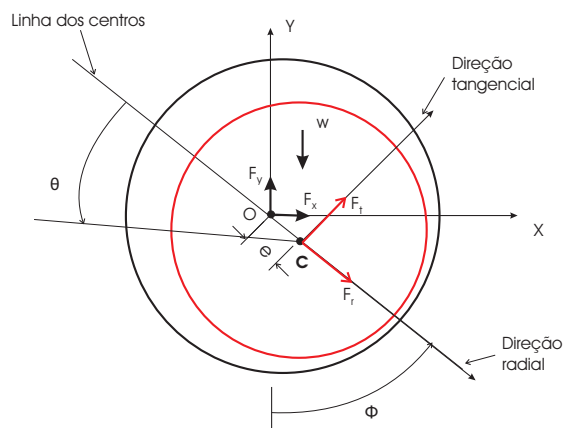


Figura 3.11: Forças sobre o eixo

As forças hidrodinâmicas sobre o munhão são dadas por

$$F_r = \int_0^\pi \int_{-\frac{B}{2}}^{\frac{B}{2}} p \cos \theta dz R d\theta \quad (3-32)$$

$$F_t = \int_0^\pi \int_{-\frac{B}{2}}^{\frac{B}{2}} p \operatorname{sen} \theta dz R d\theta \quad (3-33)$$

Substituindo 3-29 em 3-32 e 3-33, obtém-se

$$F_r = \frac{3\mu R}{f^2} \int_{-\frac{B}{2}}^{\frac{B}{2}} (z^2 - \frac{B^2}{4}) dz \left[2\dot{\varepsilon} \int_0^\pi \frac{\cos^2 \theta d\theta}{(1 + \varepsilon \cos \theta)^3} + \varepsilon(2\dot{\phi} - \Omega) \int_0^\pi \frac{\operatorname{sen} \theta \cos \theta d\theta}{(1 + \varepsilon \cos \theta)^3} \right] \quad (3-34)$$

$$F_t = \frac{\mu R}{2f^2} \int_{-\frac{B}{2}}^{\frac{B}{2}} (z^2 - \frac{B^2}{4}) dz \left[2\dot{\varepsilon} \int_0^\pi \frac{\operatorname{sen} \theta \cos \theta d\theta}{(1 + \varepsilon \cos \theta)^3} + \varepsilon(2\dot{\phi} - \Omega) \int_0^\pi \frac{\operatorname{sen}^2 \theta d\theta}{(1 + \varepsilon \cos \theta)^3} \right] \quad (3-35)$$

As integrais em θ foram calculadas por Sommerfeld [25] e valem

$$\begin{aligned} \int_0^\pi \frac{\operatorname{sen} \theta \cos \theta}{(1 + \varepsilon \cos \theta)} d\theta &= -\frac{2\varepsilon}{(1 - \varepsilon^2)^2} \\ \int_0^\pi \frac{\operatorname{sen}^2 \theta d\theta}{(1 + \varepsilon \cos \theta)^3} &= \frac{\pi(1 + 2\varepsilon^2)}{2(1 - \varepsilon^2)^{3/2}} \\ \int_0^\pi \frac{\cos^2 \theta d\theta}{(1 + \varepsilon \cos \theta)^3} &= \frac{\pi}{2(1 - \varepsilon^2)^{3/2}} \end{aligned} \quad (3-36)$$

Substituindo 3-36 em 3-34 e 3-35 e simplificando, obtém-se

$$F_r = -\frac{\mu RB^3}{2f^2} \left[\frac{\pi\dot{\varepsilon}(1 + 2\varepsilon^2)}{(1 - \varepsilon^2)^{5/2}} - \frac{2\varepsilon^2(2\dot{\phi} - \Omega)}{(1 - \varepsilon^2)^2} \right] \quad (3-37)$$

$$F_t = \frac{\mu RB^3}{2f^2} \left[\frac{4\varepsilon\dot{\varepsilon}}{(1 - \varepsilon^2)^2} - \frac{\pi\varepsilon(2\dot{\phi} - \Omega)}{2(1 - \varepsilon^2)^{3/2}} \right] \quad (3-38)$$

Se considerarmos somente cargas estáticas, temos $\dot{\varepsilon} = \dot{\phi} = 0$ e as forças sobre o mancal serão

$$F_r = -\frac{\mu\Omega RB^3}{f^2} \frac{\varepsilon^2}{(1 - \varepsilon^2)^2} \quad (3-39)$$

onde o sinal negativo indica que a força está na direção da máxima espessura do filme.

e

$$F_t = \frac{\mu\Omega RB^3}{f^2} \frac{\pi\varepsilon}{4(1-\varepsilon^2)^{3/2}} \quad (3-40)$$

onde o sinal positivo indica que a força está na mesma direção da rotação do eixo e é a força desestabilizadora do mancal.

As forças F_r e F_t podem ser relacionadas com as forças externas aplicadas, como o peso, força de engrenamento, no caso de multiplicadores ou redutores de velocidade, ou empuxo radial do vapor no caso de turbinas.

Relembrando que nesta análise o sistema mecânico está em equilíbrio, consideremos a carga externa w aplicada na direção vertical para baixo. Observando a figura 3.11, temos que

$$F_r = w \cos \phi, \quad F_t = w \sin \phi \quad (3-41)$$

Substituindo 3-39 e 3-40 em 3-41 e resolvendo para w e ϕ , obtém-se

$$w = \frac{\mu\Omega RB^3}{4f^2} \frac{\pi\varepsilon}{(1-\varepsilon^2)^2} \sqrt{\pi^2(1-\varepsilon^2) + 16\varepsilon^2} \quad (3-42)$$

$$\tan \phi = \frac{\pi \sqrt{1-\varepsilon^2}}{4\varepsilon} \quad (3-43)$$

Sob condição de carga estática, o eixo opera no ponto do espaço dado pela excentricidade e e ângulo de atitude ϕ . Isto significa que, se a carga externa não variar com o tempo, a posição do eixo também não mudará. Em uma máquina real, sempre haverá variações da carga externa, ou efeitos internos como o desbalanceamento. Usualmente estas cargas são pequenas comparadas com a carga estática, de modo que o eixo move-se em uma pequena órbita em torno da posição de equilíbrio.

Se rearrumarmos 3-42 na forma

$$\frac{\mu\Omega RB}{w(f/R)^2} = \left(\frac{R}{B}\right)^2 \frac{4(1-\varepsilon^2)}{\pi\varepsilon\sqrt{\pi^2(1-\varepsilon^2) + 16\varepsilon^2}} \quad (3-44)$$

teremos no lado esquerdo o parâmetro adimensional conhecido como Número de Sommerfeld S , que reúne as características geométricas e operacionais do mancal. A figura 3.12 ilustra a curva do Número de Sommerfeld para o mancal que será objeto de análise deste trabalho, destacando o ponto de trabalho para uma rotação de 4.100 rpm.

O ângulo de atitude ϕ também pode ser traçado como função da razão de excentricidade ε . Pode ser mostrado que a posição de equilíbrio do munhão segue um semicírculo conforme mostra a figura 3.13. Assim, quando a velocidade é zero, o centro do munhão está no fundo, a razão de

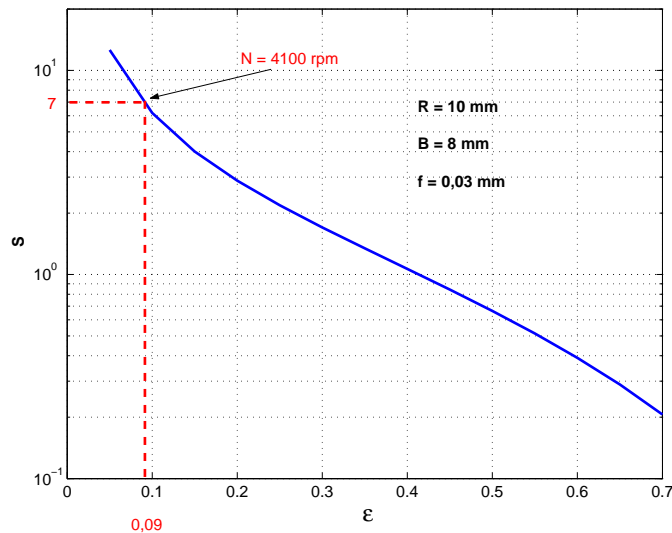


Figura 3.12: Número de Sommerfeld

excentricidade será $\varepsilon = 1$ e o ângulo de atitude $\phi = 0$. À medida que se aumenta a velocidade tendendo a infinito, o centro desloca-se aproximando-se do centro do mancal, onde $\varepsilon = 0$ e $\phi = 90^\circ$.

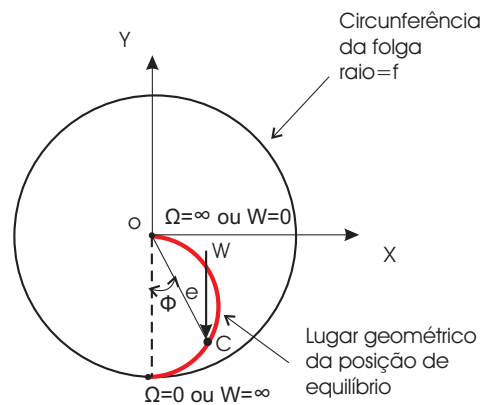


Figura 3.13: Lugar geométrico da posição de equilíbrio do munhão

3.4.2 Rigidez e amortecimento dos mancais radiais

Estabelecendo uma posição de equilíbrio em uma dada condição operacional, o filme de lubrificante ilustrado na figura 3.2 comporta-se como um sistema massa-mola-amortecedor de rigidez k e amortecimento c , ilustrado pela figura 3.14. Se aplicarmos uma pequena perturbação Δy na sapata móvel, por exemplo, a força de reação F_y sobre ela aumentará de ΔF_y . Análise análoga pode ser feita com uma pequena perturbação $\Delta \dot{y}$ na velocidade \dot{y} .

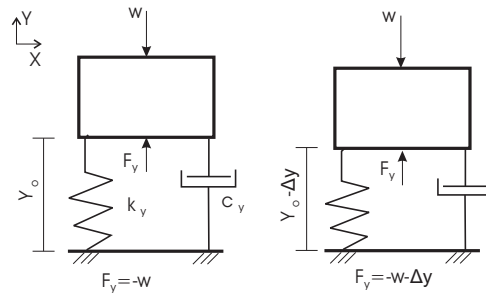


Figura 3.14: Modelo massa-mola para o filme fluido

A figura 3.15 ilustra o gráfico da variação da força de reação que será aplicada através do fluido à sapata fixa. Assim, Os coeficientes k_y e c_y são definidos como

$$k_y = -\frac{\Delta F_y}{\Delta y} ; \quad c_y = -\frac{\Delta F_y}{\Delta \dot{y}} \quad (3-45)$$

podendo, também, ser escritos na forma derivativa, uma vez que correspondem à inclinação da curva

$$k_y = -\frac{\partial F}{\partial y} ; \quad c_y = -\frac{\partial F}{\partial \dot{y}}$$

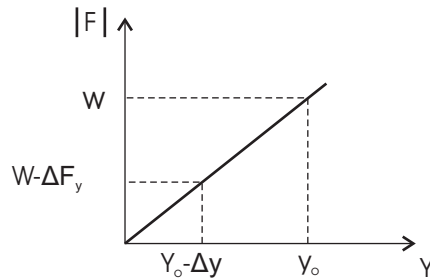


Figura 3.15: Variação da força de reação com o deslocamento

Então, a força total de reação F do fluido sobre a sapata móvel será

$$F = -w - k_{yy}\Delta y - c_{yy}\Delta \dot{y}$$

Em um mancal radial o problema é mais complexo porque o munhão tem uma posição no espaço dada pelas componentes x_c e y_c , bem como pode possuir as componentes de velocidade \dot{x}_c e \dot{y}_c . As forças do fluido agindo sobre o munhão terão componentes horizontal F_x e vertical F_y . Se o munhão for deslocado de sua posição de equilíbrio de uma pequena distância horizontal Δx_c para a direita, como mostrado na figura 3.16, duas mudanças ocorrem:

ΔF_x - Mudança na força horizontal devido ao deslocamento horizontal Δx_c

ΔF_y - Mudança na força vertical devido ao deslocamento horizontal Δx_c

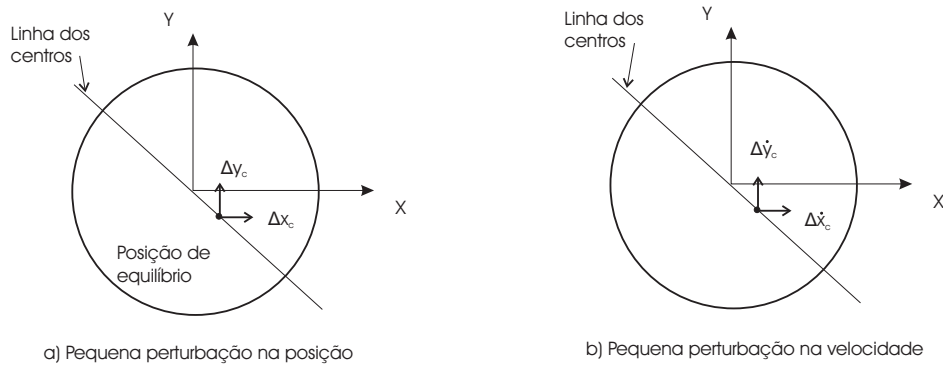


Figura 3.16: Perturbações em torno da posição de equilíbrio

Os dois coeficientes de rigidez correspondentes a essas mudanças são

$$k_{xx} = -\frac{\partial F_x}{\partial x_c}; \quad k_{yx} = -\frac{\partial F_y}{\partial x_c} \quad (3-46)$$

Se o munhão for deslocado de sua posição de equilíbrio de uma pequena distância vertical Δy_c para cima, duas mudanças ocorrem:

ΔF_x - Mudança na força horizontal devido ao deslocamento vertical Δy_c

ΔF_y - Mudança na força vertical devido ao deslocamento vertical Δy_c

Os dois coeficientes de rigidez correspondentes a essas mudanças são

$$k_{xy} = -\frac{\partial F_x}{\partial y_c}; \quad k_{yy} = -\frac{\partial F_y}{\partial y_c} \quad (3-47)$$

Os coeficientes de rigidez são conhecidos como principais ou cruzados. Assim, o termo k_{xx} , principal, corresponde à força na direção horizontal produzida por um pequeno deslocamento na direção horizontal. O termo k_{yx} , cruzado, corresponde à força na direção vertical produzida por um pequeno deslocamento na direção horizontal.

Da mesma forma definem-se os coeficientes de amortecimento:

ΔF_x - Mudança na força horizontal devido à pequena velocidade horizontal $\Delta \dot{x}_c$

ΔF_y - Mudança na força vertical devido à pequena velocidade horizontal $\Delta \dot{x}_c$

Os dois coeficientes de amortecimento correspondentes a essas mudanças são

$$c_{xx} = -\frac{\partial F_x}{\partial \dot{x}_c}; \quad c_{yx} = -\frac{\partial F_y}{\partial \dot{x}_c} \quad (3-48)$$

ΔF_x - Mudança na força horizontal devido à pequena velocidade vertical $\Delta \dot{y}_c$

ΔF_y - Mudança na força vertical devido à pequena velocidade vertical $\Delta \dot{y}_c$

Os respectivos coeficientes são

$$c_{xy} = -\frac{\partial F_x}{\partial \dot{y}_c}; \quad c_{yy} = -\frac{\partial F_y}{\partial \dot{y}} \quad (3-49)$$

A fim de calcular estes coeficientes, será aplicada uma pequena perturbação em torno da posição de equilíbrio $(\phi_o, f\varepsilon)$, conforme ilustrado na figura 3.17, onde e_r e e_t são os vetores unitários nas direções radial e tangencial, respectivamente.

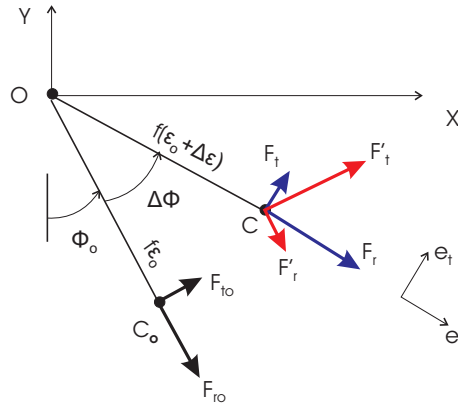


Figura 3.17: Pequena perturbação em torno da posição de equilíbrio

Para pequenas vibrações $(\varepsilon, \phi, \dot{\varepsilon}, \dot{\phi})$ em torno da posição de equilíbrio estático (ε_o, ϕ_o) , a força $F = F_r \mathbf{e}_r + F_t \mathbf{e}_t$ sobre o munhão pode ser expressa por:

$$\begin{Bmatrix} F_r \\ F_t \end{Bmatrix} = \begin{Bmatrix} F_{ro} \\ F_{to} \end{Bmatrix} - \begin{bmatrix} \frac{\partial F_r}{f \partial \varepsilon} & \frac{\partial F_r}{f \varepsilon \partial \phi} \\ \frac{\partial F_t}{f \partial \varepsilon} & \frac{\partial F_t}{f \varepsilon \partial \phi} \end{bmatrix} \begin{Bmatrix} f \Delta \varepsilon \\ f \varepsilon \Delta \phi \end{Bmatrix} - \begin{bmatrix} \frac{\partial F_r}{f \partial \dot{\varepsilon}} & \frac{\partial F_r}{f \varepsilon \partial \dot{\phi}} \\ \frac{\partial F_t}{f \partial \dot{\varepsilon}} & \frac{\partial F_t}{f \varepsilon \partial \dot{\phi}} \end{bmatrix} \begin{Bmatrix} f \Delta \dot{\varepsilon} \\ f \varepsilon \Delta \dot{\phi} \end{Bmatrix} \quad (3-50)$$

Da figura 3.17, tem-se a seguinte transformação

$$\begin{Bmatrix} F_r' \\ F_t' \end{Bmatrix} = \begin{bmatrix} \cos \Delta \phi & -\text{sen} \Delta \phi \\ \text{sen} \Delta \phi & \cos \Delta \phi \end{bmatrix} \begin{Bmatrix} F_r \\ F_t \end{Bmatrix} \quad (3-51)$$

onde F_r' é a componente da força do fluido F na mesma direção da componente F_{ro} na posição de equilíbrio, e F_{to} é a componente de F na mesma direção da componente F_{to} .

Para uma pequena perturbação $\Delta \phi \ll 1$, $\cos \Delta \phi = 1$ e $\text{sen} \Delta \phi = \Delta \phi$.

Usando estas aproximações, 3-51 pode ser escrita como

$$\begin{Bmatrix} F_r' \\ F_t' \end{Bmatrix} = \begin{Bmatrix} F_r \\ F_t \end{Bmatrix} + \Delta \phi \begin{Bmatrix} -F_t \\ F_r \end{Bmatrix} \quad (3-52)$$

ou

$$\begin{Bmatrix} F_r \\ F_t \end{Bmatrix} = \begin{Bmatrix} F_r' \\ F_t' \end{Bmatrix} - f\varepsilon\Delta\phi \begin{Bmatrix} -F_t/f\varepsilon \\ F_r/f\varepsilon \end{Bmatrix} \quad (3-53)$$

Substituindo 3-53 em 3-50 e rearranjando, obtém-se

$$\begin{Bmatrix} F_r' - F_{ro} \\ F_t' - F_{to} \end{Bmatrix} = - \begin{bmatrix} \frac{\partial F_r}{f\partial\varepsilon} & \frac{\partial F_r}{f\varepsilon\partial\phi} - \frac{F_t}{f\varepsilon} \\ \frac{\partial F_t}{f\partial\varepsilon} & \frac{\partial F_t}{f\varepsilon\partial\phi} + \frac{F_r}{f\varepsilon} \end{bmatrix} \begin{Bmatrix} f\Delta\varepsilon \\ f\varepsilon\Delta\phi \end{Bmatrix} - \begin{bmatrix} \frac{\partial F_r}{f\partial\dot{\varepsilon}} & \frac{\partial F_r}{f\varepsilon\partial\dot{\phi}} \\ \frac{\partial F_t}{f\partial\dot{\varepsilon}} & \frac{\partial F_t}{f\varepsilon\partial\dot{\phi}} \end{bmatrix} \begin{Bmatrix} f\Delta\dot{\varepsilon} \\ f\varepsilon\Delta\dot{\phi} \end{Bmatrix} \quad (3-54)$$

Portanto,

$$\begin{bmatrix} k_{rr} & k_{rt} \\ k_{tr} & k_{tt} \end{bmatrix} = \begin{bmatrix} -\frac{\partial F_r}{f\partial\varepsilon} & -\frac{\partial F_r}{f\varepsilon\partial\phi} + \frac{F_t}{f\varepsilon} \\ -\frac{\partial F_t}{f\partial\varepsilon} & -\frac{\partial F_t}{f\varepsilon\partial\phi} - \frac{F_r}{f\varepsilon} \end{bmatrix} \quad (3-55)$$

$$\begin{bmatrix} c_{rr} & c_{rt} \\ c_{tr} & c_{tt} \end{bmatrix} = \begin{bmatrix} -\frac{\partial F_r}{f\partial\dot{\varepsilon}} & -\frac{\partial F_r}{f\varepsilon\partial\dot{\phi}} \\ -\frac{\partial F_t}{f\partial\dot{\varepsilon}} & -\frac{\partial F_t}{f\varepsilon\partial\dot{\phi}} \end{bmatrix} \quad (3-56)$$

Substituindo 3-37 e 3-38 em 3-55 e 3-56, e avaliando as derivadas na condição de equilíbrio $\dot{\varepsilon} = \dot{\phi} = 0$ encontram-se as matrizes de rigidez e amortecimento em coordenadas polares

$$K = \begin{bmatrix} \frac{2\Omega\mu RB^3\varepsilon(1+\varepsilon^2)}{f^3(1-\varepsilon^2)^3} & \frac{\pi\Omega\mu RB^3}{4f^3(1-\varepsilon^2)^{3/2}} \\ -\frac{\pi\Omega\mu RB^3(1+2\varepsilon^2)}{4f^3(1-\varepsilon^2)^{5/2}} & \frac{\pi\Omega\mu RB^3}{4f^3(1-\varepsilon^2)^{3/2}} \end{bmatrix} \quad (3-57)$$

$$C = \begin{bmatrix} \frac{\pi\mu RB^3(1+2\varepsilon^2)}{2f^3(1-\varepsilon^2)^{5/2}} & -\frac{2\varepsilon\mu RB^3}{f^3(1-\varepsilon^2)^2} \\ -\frac{2\varepsilon\mu RB^3}{f^3(1-\varepsilon^2)^2} & \frac{\mu RB^3\varepsilon}{f^3(1-\varepsilon^2)^2} \end{bmatrix} \quad (3-58)$$

Fazendo $\bar{k}_{ij} = \frac{f^3}{\mu\Omega RB^3} k$ e $\bar{c}_{ij} = \frac{f^3}{\mu RB^3} c$ ($i, j = r, t$) os coeficientes linearizados são adimensionalizados.

Estes coeficientes em coordenadas cartesianas são calculados com auxílio das transformações

$$\begin{bmatrix} \bar{k}_{xx} & \bar{k}_{xy} \\ \bar{k}_{yx} & \bar{k}_{yy} \end{bmatrix} = \begin{bmatrix} \sin \phi_o & \cos \phi_o \\ -\cos \phi_o & \sin \phi_o \end{bmatrix} \begin{bmatrix} \bar{k}_{rr} & \bar{k}_{rt} \\ \bar{k}_{tr} & \bar{k}_{tt} \end{bmatrix} \begin{bmatrix} \sin \phi_o & -\cos \phi_o \\ \cos \phi_o & \sin \phi_o \end{bmatrix} \quad (3-59)$$

$$\begin{bmatrix} \bar{c}_{xx} & \bar{c}_{xy} \\ \bar{c}_{yx} & \bar{c}_{yy} \end{bmatrix} = \begin{bmatrix} \sin \phi_o & \cos \phi_o \\ -\cos \phi_o & \sin \phi_o \end{bmatrix} \begin{bmatrix} \bar{c}_{rr} & \bar{c}_{rt} \\ \bar{c}_{tr} & \bar{c}_{tt} \end{bmatrix} \begin{bmatrix} \sin \phi_o & -\cos \phi_o \\ \cos \phi_o & \sin \phi_o \end{bmatrix}$$

onde ϕ_o é dado por 3-43

Substituindo 3-57 e 3-58 em 3-59, tem-se

$$\begin{aligned} \bar{k}_{xx} &= Q^2 \varepsilon \left[\frac{2\pi^2 + (16 - \pi^2)\varepsilon^2}{(1 - \varepsilon^2)^2} \right] \\ \bar{k}_{xy} &= \pi Q^2 \left[\frac{\pi^2 - \varepsilon^2(\pi^2 + 16\varepsilon^2)}{4(1 - \varepsilon^2)^{5/2}} \right] \\ \bar{k}_{yx} &= -\pi Q^2 \left[\frac{(32 - 2\pi^2\pi^2)\varepsilon^4 + (32 + \pi^2)\varepsilon^2 + \pi^2}{4(1 - \varepsilon^2)^{5/2}} \right] \\ \bar{k}_{yy} &= Q^2 \varepsilon \left[\frac{\pi^2 + (32 + \pi^2)\varepsilon^2 + (32 - 2\pi^2)\varepsilon^4}{(1 - \varepsilon^2)^3} \right] \\ \bar{c}_{xx} &= \pi Q^2 \left[\frac{\pi + (2\pi - 4)\varepsilon^2}{(1 - \varepsilon^2)^{3/2}} \right] \\ \bar{c}_{xy} &= -2Q^2 \varepsilon \left[\frac{\pi + (2\pi^2 - 16)\varepsilon^2}{(1 - \varepsilon^2)^2} \right] \\ \bar{c}_{yx} &= \bar{c}_{xy} \\ \bar{c}_{yy} &= \frac{\pi[48Q^2\varepsilon^4 + \pi(1 - \varepsilon^2)]}{2(1 - \varepsilon^2)^{5/2}} \end{aligned} \quad (3-60)$$

onde $Q(\varepsilon) = \frac{1}{\sqrt{\pi^2(1-\varepsilon^2)+16\varepsilon^2}}$

A figura 3.18 ilustra o gráfico destes coeficientes em função do Número de Sommerfeld.

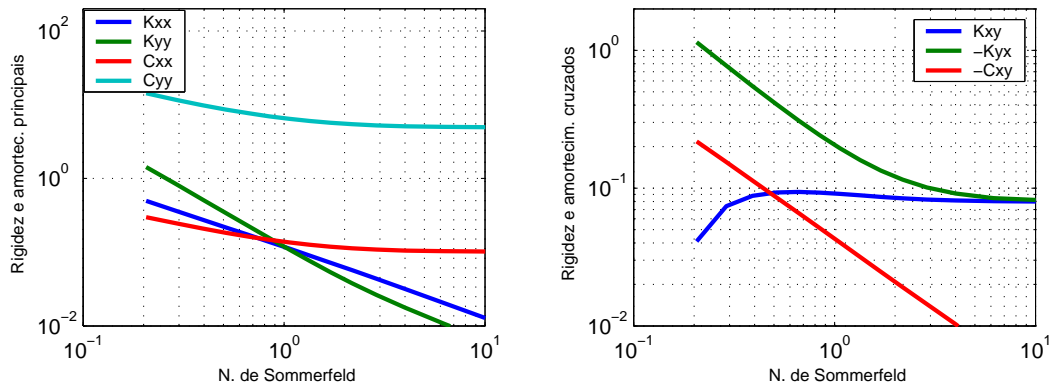


Figura 3.18: Rigidez e amortecimento adimensionalizados

3.5

Rotor montado em mancais hidrodinâmicos

A vantagem de um mancal hidrodinâmico do ponto de vista rotodinâmico é seu alto amortecimento relativo. Além disso, a rigidez do filme de óleo tem uma forte influência sobre as velocidades críticas e, conseqüentemente, estes parâmetros podem ser usados para aumentar ou reduzir a velocidade crítica para um dado rotor. Como a rigidez e amortecimento de um mancal são altamente sensíveis à folga do mancal, este parâmetro é um dos mais importantes para controlar a dinâmica do rotor.

Nesta seção analisaremos a estabilidade do sistema rotor-mancal com parâmetros concentrados, considerando dois casos: rotor rígido e flexível.

3.5.1

Rotor rígido

Consideremos o rotor rígido montado em mancais hidrodinâmicos conforme ilustrado na figura 3.19. A carga por mancal será w .

O mancal é modelado na literatura como mostrado na figura 3.20.

Do diagrama de corpo livre do disco nas direções X e Y , tem-se

$$\begin{aligned} m\ddot{r}_x &= F_x \\ m\ddot{r}_y &= F_y - w \end{aligned} \quad (3-61)$$

onde r_x e r_y são as coordenadas do centro de massa C do disco dadas por

$$r_x = r_{xo} + x; \quad r_y = r_{yo} + y \quad (3-62)$$

e x e y são pequenas oscilações do munhão e do disco em torno da posição de equilíbrio r_{xo} e r_{yo} , respectivamente.

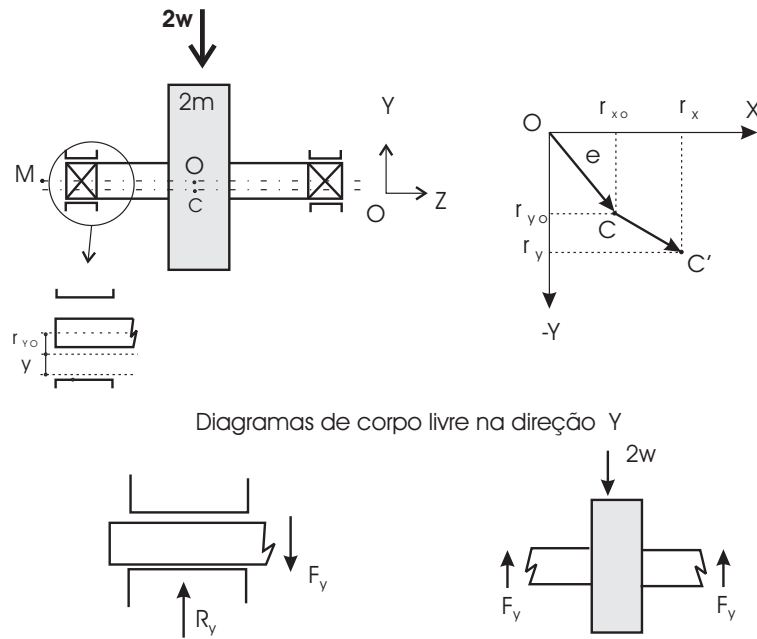


Figura 3.19: Rotor rígido em mancais hidrodinâmicos

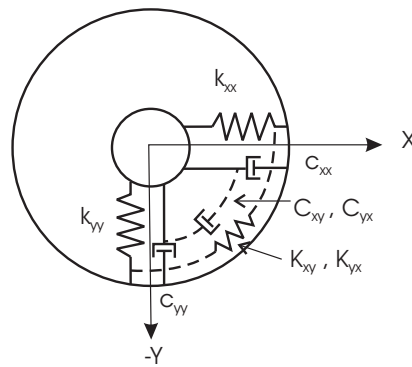


Figura 3.20: Rotor rígido em mancais hidrodinâmicos

Do diagrama de corpo livre do mancal nas direções X e Y tem-se

$$\begin{aligned} F_x = R_x &= k_{xx}x + k_{xy}y + c_{xx}\dot{x} + c_{xy}\dot{y} \\ F_y = R_y &= k_{yy}y + k_{yx}x + c_{yy}\dot{y} + c_{yx}\dot{x} \end{aligned} \quad (3-63)$$

Substituindo 3-62 e 3-63 em 3-61 tem-se as equações que descrevem o movimento livre nas direções horizontal e vertical na forma matricial

$$m \begin{Bmatrix} \ddot{x} \\ \ddot{y} \end{Bmatrix} + \begin{bmatrix} c_{xx} & c_{xy} \\ c_{yx} & c_{yy} \end{bmatrix} \begin{Bmatrix} \dot{x} \\ \dot{y} \end{Bmatrix} + \begin{bmatrix} k_{xx} & k_{xy} \\ k_{yx} & k_{yy} \end{bmatrix} \begin{Bmatrix} x \\ y \end{Bmatrix} = \begin{Bmatrix} 0 \\ -w \end{Bmatrix} \quad (3-64)$$

Uma solução para a equação 3-64 pode ser encontrada nas formas

$$x = x_o e^{\lambda t}; \quad y = y_o e^{\lambda t} \quad (3-65)$$

Substituindo 3-65 em 3-64, chega-se ao polinômio característico de quarto grau, cujas raízes serão da forma $\lambda = \sigma + i\omega$, onde σ - parte real ou fator de crescimento ou decrescimento exponencial ω - parte imaginária, correspondente à frequência natural

A vibração do rotor rígido terá então, a forma

$$x = x_o e^{(\sigma+i\omega)t} \quad y = y_o e^{(\sigma+i\omega)t} \quad (3-66)$$

O termo exponencial σ representa crescimento da vibração, se $\sigma > 0$, ou decaimento, se $\sigma < 0$.

Nosso particular interesse aqui é determinar o limite de estabilidade, ou seja, a velocidade para a qual $\sigma = 0$. À medida que se aumenta a velocidade, o efeito cruzado dos coeficientes de rigidez e amortecimento tornar-se-ão maiores e, pelo menos duas das raízes complexas conjugadas com fator de crescimento $\sigma < 0$ passarão a ter parte real $\sigma = 0$. Esta velocidade corresponderá à velocidade limite de estabilidade Ω_l . Se prosseguirmos com o aumento de velocidade, σ será positivo, configurando-se, então, uma situação de instabilidade.

Uma estratégia para se encontrar o mapa de estabilidade de um mancal é introduzir na equação 3-64 o termo da velocidade Ω . Para tanto, basta substituir as matrizes K e C por suas correspondentes adimensionalizadas. Assim, temos

$$C = \frac{w}{f\Omega} C'; \quad K = \frac{w}{f} K' \quad (3-67)$$

A equação 3-64 fica, então

$$\frac{f}{g} \begin{Bmatrix} \ddot{x}_c \\ \ddot{y}_c \end{Bmatrix} + \frac{1}{\Omega} \begin{bmatrix} c'_{xx} & c'_{xy} \\ c'_{yx} & c'_{yy} \end{bmatrix} \begin{Bmatrix} \dot{x}_c \\ \dot{y}_c \end{Bmatrix} + \begin{bmatrix} k'_{xx} & k'_{xy} \\ k'_{yx} & k'_{yy} \end{bmatrix} \begin{Bmatrix} x_c \\ y_c \end{Bmatrix} = \begin{Bmatrix} 0 \\ 0 \end{Bmatrix} \quad (3-68)$$

Substituindo 3-65 em 3-68 e fazendo $\alpha = f/g$, encontramos o polinômio característico 3-69

$$\alpha^2 \lambda^4 + \frac{\alpha A_4}{\Omega} \lambda^3 + \left(\alpha A_3 + \frac{A_2}{\Omega^2} \right) \lambda^2 + \frac{A_1}{\Omega} \lambda + A_o = 0 \quad (3-69)$$

onde

$$\begin{aligned}
 A_o &= k'_{xx}k'_{yy} - k'_{xy}k'_{yx} \\
 A_1 &= c'_{xx}k'_{yy} + k'_{xx}c'_{yy} - (c'_{yx}k'_{xy} + c'_{xy}k'_{yx}) \\
 A_2 &= c'_{yy}c'_{xx} - c'_{xy}c'_{yx} \\
 A_3 &= k'_{xx} + k'_{yy} \\
 A_4 &= c'_{xx} + c'_{yy}
 \end{aligned} \tag{3-70}$$

Fazendo $\lambda = i\omega_l$ e $\Omega = \Omega_l$ em 3-69, temos

$$\alpha^2 \omega_l^4 - \left(\alpha A_3 + \frac{A_2}{\Omega_l^2} \right) \omega_l^2 + A_o + \left(\frac{A_1 \omega_l - \alpha A_3 \omega_l^3}{\Omega_l} \right) i = 0 \tag{3-71}$$

De 3-71 temos

$$\omega_l = \sqrt{\frac{A_1}{\alpha A_4}} \tag{3-72}$$

e

$$\Omega_l = \sqrt{\frac{A_1 A_2 A_4}{\alpha (A_1^2 - A_1 A_3 A_4 + A_o A_4^2)}} \tag{3-73}$$

onde Ω_l e ω_l são a velocidade limite de estabilidade e a frequência natural nesta velocidade, respectivamente.

Assim, de posse de 3-70 e 3-73 pode-se plotar o mapa de estabilidade como função do Número de Sommerfeld para o mancal objeto deste trabalho . Através deste mapa, pode-se determinar se o mancal é estável ou não para qualquer combinação de carga e velocidade, expressa pelo Número de Sommerfeld. Assim, conforme ilustrado na figura 3.21, se levantarmos uma linha vertical em $S = 7$, a interseção com a curva dá-se em $\bar{\Omega} = 3.9$, que corresponde à velocidade limite de 21.296 *rpm* para uma folga $f = 0,03$ *mm* e 18.443 *rpm*, para $f = 0,04$ *mm*. Vale ressaltar que, caminhar na linha $S = 7$ de baixo para cima equivale a aumentar a carga do mancal, uma vez que estamos aumentando a velocidade mantendo S constante. Pode-se concluir do mapa que o aumento da folga tende a desestabilizar o mancal.

3.5.2 Rotor flexível

Consideremos o rotor de Jeffcott com um disco de massa $2m$ suportado por mancais hidrodinâmicos idênticos ilustrado na figura 3.22. Como o eixo é horizontal, os mancais suportam o peso $2w$ do rotor que determinará a posição estática de operação (x_M, y_M) a uma dada a velocidade Ω .

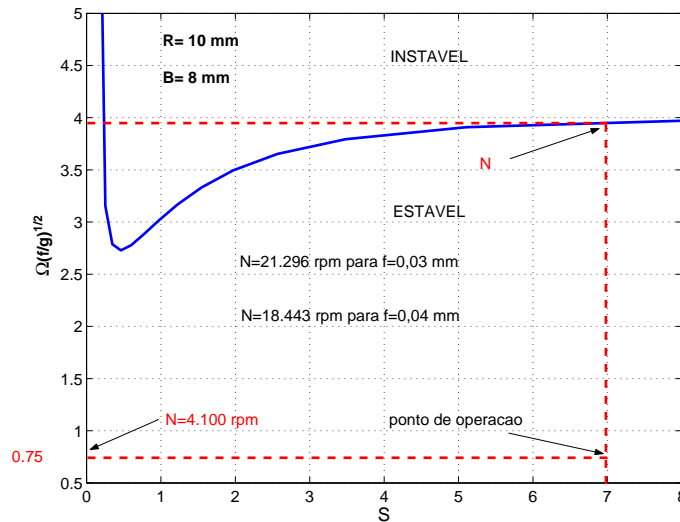


Figura 3.21: Mapa de estabilidade em função do Número de Sommerfeld

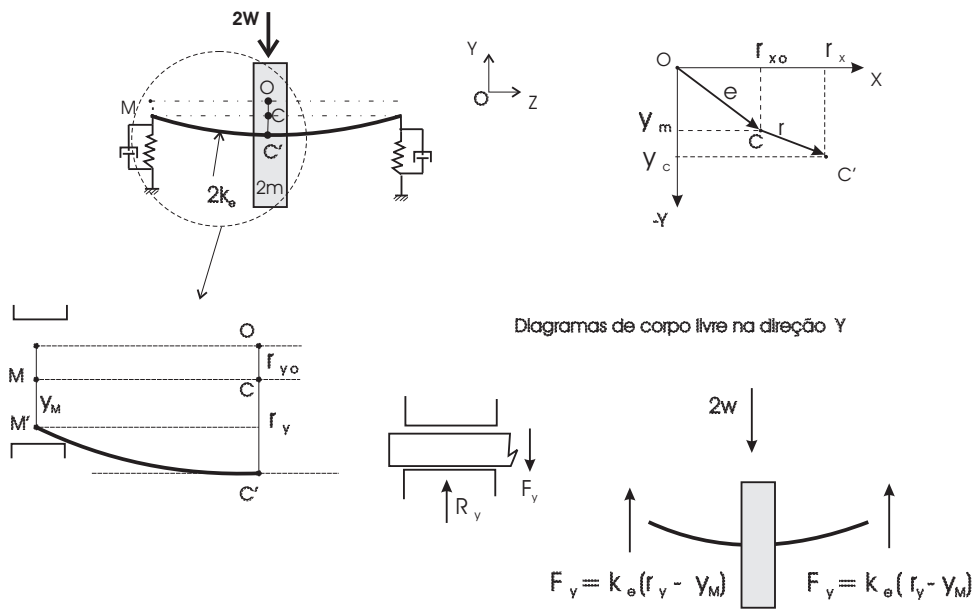


Figura 3.22: Rotor de Jeffcott em mancal hidrodinâmico

Do diagrama de corpo livre do disco nas direções X e Y , tem-se

$$\begin{cases} m\ddot{r}_x = -k_e(r_x - x_M) \\ m\ddot{r}_y = -k_e(r_y - y_M) - w \end{cases} \Rightarrow \begin{cases} \frac{m}{k_e}\ddot{r}_x + r_x - x_M = 0 \\ \frac{m}{k_e}\ddot{r}_y + r_y - y_M = -w \end{cases} \quad (3-74)$$

que, na forma matricial e fazendo $p = m/k_e$, fica

$$\begin{bmatrix} p & 0 \\ 0 & p \end{bmatrix} \begin{Bmatrix} \ddot{r}_x \\ \ddot{r}_y \end{Bmatrix} + \begin{bmatrix} 1 & 0 \\ 0 & 1 \end{bmatrix} \begin{Bmatrix} r_x \\ r_y \end{Bmatrix} + \begin{bmatrix} -1 & 0 \\ 0 & -1 \end{bmatrix} \begin{Bmatrix} x_M \\ y_M \end{Bmatrix} \begin{Bmatrix} 0 \\ 0 \end{Bmatrix} \quad (3-75)$$

Do diagrama de corpo livre dos mancais, tem-se

$$\begin{aligned} F_x = R_x &= k_{xx}x_M + k_{xy}y_M + c_{xx}\dot{x}_M + c_{xy}\dot{y}_M = k_e(r_x - x_M) \\ F_y = R_y &= k_{yy}y_M + k_{yx}x_M + c_{yy}\dot{y}_M + c_{yx}\dot{x}_M = k_e(r_y - y_M) \end{aligned} \quad (3-76)$$

$$\begin{aligned} c_{xx}\dot{x}_M + c_{xy}\dot{y}_M + (k_{xx} + k_e)x_M + k_{xy}y_M - k_er_x &= 0 \\ c_{yy}\dot{y}_M + c_{yx}\dot{x}_M + k_{yx}x_M + (k_{yy} + k_e)y_M - k_er_y &= 0 \end{aligned} \quad (3-77)$$

Dividindo 3-77 por k_e e escrevendo na forma matricial, fica

$$\frac{1}{k_e} \begin{bmatrix} c_{xx} & c_{xy} \\ c_{yx} & c_{yy} \end{bmatrix} \begin{Bmatrix} \dot{x}_M \\ \dot{y}_M \end{Bmatrix} + \begin{bmatrix} \frac{k_{xx}}{k_e} + 1 & \frac{k_{xy}}{k_e} \\ \frac{k_{yx}}{k_e} & \frac{k_{yy}}{k_e} + 1 \end{bmatrix} \begin{Bmatrix} x_M \\ y_M \end{Bmatrix} + \begin{bmatrix} 1 & 0 \\ 0 & 1 \end{bmatrix} \begin{Bmatrix} r_x \\ r_y \end{Bmatrix} = \begin{Bmatrix} 0 \\ 0 \end{Bmatrix} \quad (3-78)$$

Fazendo $K = \frac{mg}{f}K'$, $C = \frac{mg}{f\Omega}C'$ e $\delta = \frac{mg}{fk_e}$, obtém-se

$$\frac{\delta}{\Omega} \begin{bmatrix} c'_{xx} & c'_{xy} \\ c'_{yx} & c'_{yy} \end{bmatrix} \begin{Bmatrix} \dot{x}_M \\ \dot{y}_M \end{Bmatrix} + \begin{bmatrix} \delta k'_{xx} + 1 & \delta k'_{xy} \\ \delta k'_{yx} & \delta k'_{yy} + 1 \end{bmatrix} \begin{Bmatrix} x_M \\ y_M \end{Bmatrix} + \begin{bmatrix} 1 & 0 \\ 0 & 1 \end{bmatrix} \begin{Bmatrix} r_x \\ r_y \end{Bmatrix} = \begin{Bmatrix} 0 \\ 0 \end{Bmatrix} \quad (3-79)$$

As equações 3-75 e 3-79 podem ser reunidas na equação matricial

$$\begin{aligned} &\begin{bmatrix} p & 0 & 0 & 0 \\ 0 & p & 0 & 0 \\ 0 & 0 & 0 & 0 \\ 0 & 0 & 0 & 0 \end{bmatrix} \begin{Bmatrix} \ddot{r}_x \\ \ddot{r}_y \\ \ddot{x}_M \\ \ddot{y}_M \end{Bmatrix} + \frac{\delta}{\Omega} \begin{bmatrix} 0 & 0 & 0 & 0 \\ 0 & 0 & 0 & 0 \\ 0 & 0 & c'_{xx} & c'_{xy} \\ 0 & 0 & c'_{yx} & c'_{yy} \end{bmatrix} \begin{Bmatrix} \dot{r}_x \\ \dot{r}_y \\ \dot{x}_M \\ \dot{y}_M \end{Bmatrix} + \\ &+ \begin{bmatrix} 1 & 0 & -1 & 0 \\ 0 & 1 & 0 & -1 \\ -1 & 0 & \delta k'_{xx} + 1 & \delta k'_{xy} \\ 0 & -1 & \delta k'_{yx} & \delta k'_{yy} + 1 \end{bmatrix} \begin{Bmatrix} r_x \\ r_y \\ x_M \\ y_M \end{Bmatrix} = \begin{Bmatrix} 0 \\ -w \\ 0 \\ 0 \end{Bmatrix} \end{aligned} \quad (3-80)$$

O polinômio característico da equação 3-80 é

$$\begin{aligned} p^2\Omega^2 A_2 \lambda^6 + p^2 \frac{A_1 + \delta A_4}{\Omega} \lambda^5 + p \left[p(A_o + \delta A_3 + \delta^2) + \frac{2A_2}{\Omega^2} \right] \lambda^4 \\ + p \frac{2A_1 + \delta A_4}{\Omega} \lambda^3 + \left[p(2A_o + \delta A_3) + \frac{A_2}{\Omega^2} \right] \lambda^2 + \frac{A_1}{\Omega} \lambda + A_o = 0 \end{aligned} \quad (3-81)$$

Para determinar a velocidade limite Ω_l de estabilidade, basta fazer $\lambda = i \omega_l$ em 3-81 para encontrar

$$\omega_l = \frac{A_1}{p(A_1 + \delta A_4)} \quad (3-82)$$

$$\Omega_l = A_4 \sqrt{\frac{\omega_l A_2}{A_1^2 - A_1 A_3 A_4 + A_o A_4^2}} \quad (3-83)$$

A partir de 3-82 e 3-83 pode-se analisar a influência da flexibilidade do eixo no limite de estabilidade. Quanto menor a flexibilidade do eixo k_e , maior torna-se p , o que diminui ω_l em 3-82. Conseqüentemente, Ω_l em 3-83 diminui, donde se conclui que quanto mais flexível o eixo, mais propenso à instabilidade será o rotor. Este fato pode ser observado se compararmos o mapa de estabilidade para o rotor rígido na figura 3.21 com o gráfico na figura 3.23 referente ao mapa de estabilidade para o rotor flexível. A curva possui a mesma forma, mas é mais baixa.

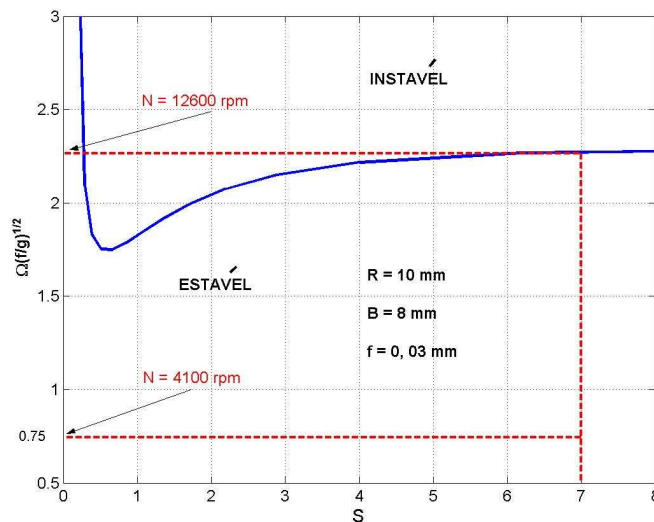


Figura 3.23: Mapa de estabilidade do rotor de Jeffcott em mancal hidrodinâmico

3.6 “Oil Whirl” e “oil whip”

A instabilidade em mancais hidrodinâmicos é conhecida na literatura como “*oil whirl*” e “*oil whip*” cujos conceitos têm sido objeto de confusão. Bently [5] descreveu a diferença entre os dois conceitos.

A figura 3.24 mostra o espectro em cascata de vibração de um rotor experimental durante a partida. Quando a velocidade atinge a velocidade limite de estabilidade (“*threshold speed*”), 2470 rpm, o rotor entra na zona de instabilidade e apresenta uma vibração subsíncrona proporcional à sua velocidade, descrevendo uma órbita de sentido direto. Em torno

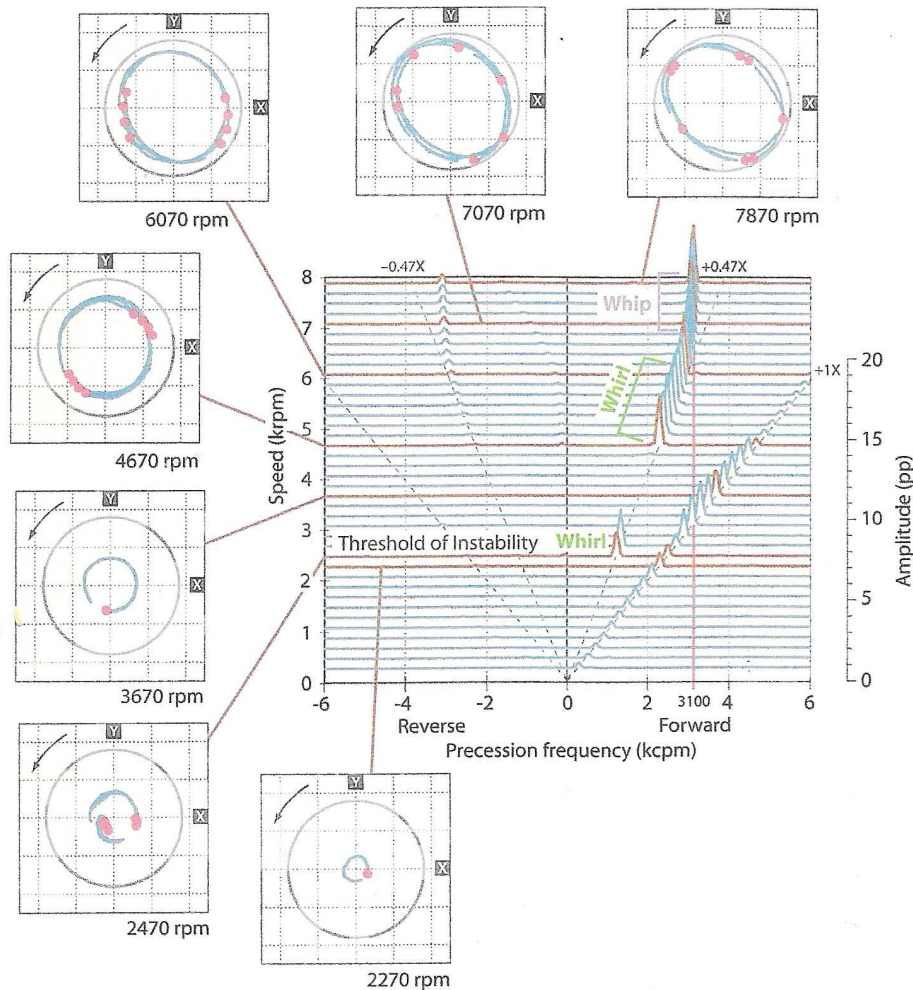


Figura 3.24: Espectro em cascata de vibração de um rotor experimental

da velocidade crítica, 2.900 rpm, a instabilidade desaparece devido à alta amplitude de vibração, mas reaparece em 4670 rpm quando a amplitude da vibração diminui. A frequência subsíncrona continua a seguir a velocidade do rotor e então ocorre a transição para uma frequência constante em torno de 3100 rpm. A instabilidade é chamada “*whirl*” quando a frequência é proporcional à velocidade do rotor, e “*whip*” quando se mantém constante numa frequência particular correspondente à ressonância.

No início do “*whirl*”, o rotor começa a precessionar na frequência natural determinada pelas propriedades de rigidez definidas por uma baixa excentricidade, pois se existe uma instabilidade iminente, o centro do munhão está relativamente mais próximo do centro do mancal do que da parede. Até este ponto, a rigidez do mancal é bem inferior à do eixo, governando a dinâmica do sistema e a vibração será de eixo rígido.

Quando o rotor começa a entrar na zona de instabilidade, descreve uma espiral afastando-se do seu ponto estável de operação. O diâmetro

da órbita, aproximadamente circular, aumenta. Se a rigidez mantivesse o seu valor constante conforme o modelo linear adotado, a órbita aumentaria indefinidamente. Entretanto, a rigidez do mancal aumenta com o aumento da excentricidade. Consequentemente, a frequência natural e a velocidade limite aumentam. Assim, as não linearidades do sistema induzem ao ciclo limite. Isto acontece a 2470 rpm. A figura 3.25 ilustra a transição da órbita entre a velocidade limite e o ciclo limite visto da tela de um osciloscópio em experimentos realizados por Muszynska [15].

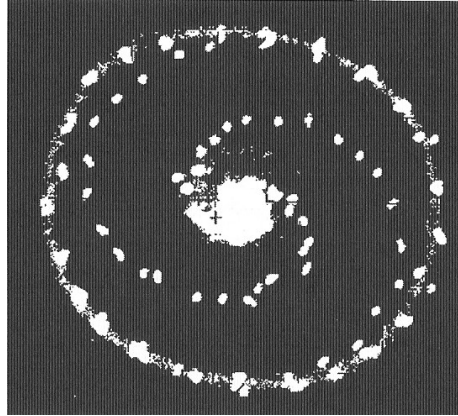


Figura 3.25: Ciclo limite da órbita do eixo

Continuando o aumento de velocidade, a excentricidade atinge seu limite quando o eixo se aproxima da superfície do mancal cuja rigidez supera à do eixo, governando a dinâmica do sistema. Nesta região, a frequência de precessão é constante e corresponde à frequência de ressonância, ditada basicamente pela elasticidade do eixo. Durante o “*whip*”, a vibração está limitada à folga do mancal, mas o modo de flexão pode produzir vibrações de altas amplitudes entre os mancais, resultando em roçamentos e ciclos severos de tensão que podem ser muito destrutivos.

Como foi visto na seção 3.4, as propriedades de rigidez e amortecimento dos mancais dependem da carga estática que neles atuam. Assim, tal carga deve ser cuidadosamente considerada no projeto rotodinâmico.

O peso do rotor é a carga mais evidente e pode ser facilmente calculada. No entanto, quando se trata de caixas de engrenagem e turbinas a vapor, estas cargas não são tão óbvias e o seu cálculo não tão imediato.

No caso das caixas de engrenagem, o torque é transmitido de um eixo para o outro através de forças radiais e tangenciais agindo entre os dentes, cuja resultante será uma força radial suportada pelos mancais. Estas forças são diretamente proporcionais ao torque. À plena potência, o esforço radial será máximo, reduzindo a tendência à instabilidade. Em baixas potências,

que ocorre principalmente durante o processo de partida da máquina, os esforços radiais são baixos, favorecendo a instabilidade.

Nas turbinas a vapor, a carga estática corresponde ao empuxo do vapor nas palhetas, transmitido radialmente aos mancais. À plena potência, este empuxo é máximo. Em baixas cargas a admissão é parcial, resultando num empuxo menor, além da mudança da direção da resultante, o que vai influenciar nas propriedades dos mancais.

Portanto, o projeto rotodinâmico deve levar em conta a carga estática em baixas potências.

Um exemplo prático de projeto de mancal que não considerou a operação do multiplicador de velocidade em baixa potência ocorreu em um compressor da plataforma P-19 da Petrobras [3], após repontenciamento para aumento de capacidade. A relação de transmissão do multiplicador de velocidade foi aumentada de 1:1,39 para 1:1,54. Durante o processo de partida, a vibração atingiu 180 μm a 3.000 rpm , levando a máquina ao desarme, conforme mostrado na figura 3.26.

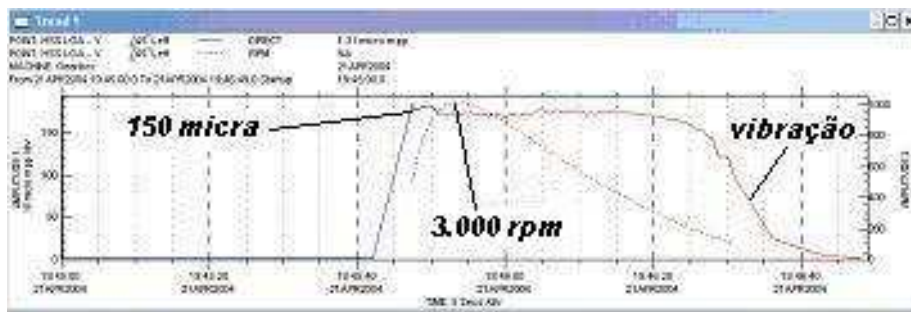


Figura 3.26: Gráfico da velocidade e vibração

O espectro em cascata de vibração mostrado na figura 3.27 evidencia um caso clássico de “*oil whirl*”. Para permitir a partida da máquina foi necessário implementar um retardo no sistema de proteção por alta vibração e assim ficará até que sejam projetados mancais mais adequados.

3.7

Tipos de Mancais Radiais

Os mancais cilíndricos estão sujeitos a instabilidade quando em altas rotações ou baixas cargas. Como foi visto, o aumento da excentricidade ϵ tende a estabilizar o mancal. Diversos mancais foram desenvolvidos com o objetivo de resolver o problema com base nesta característica “precarregando” seus segmentos, tais como os multilobulares (elíptico, “*offset*”, trilobular, etc.) e os de sapatas oscilantes, conforme ilustra a figura 3.28.

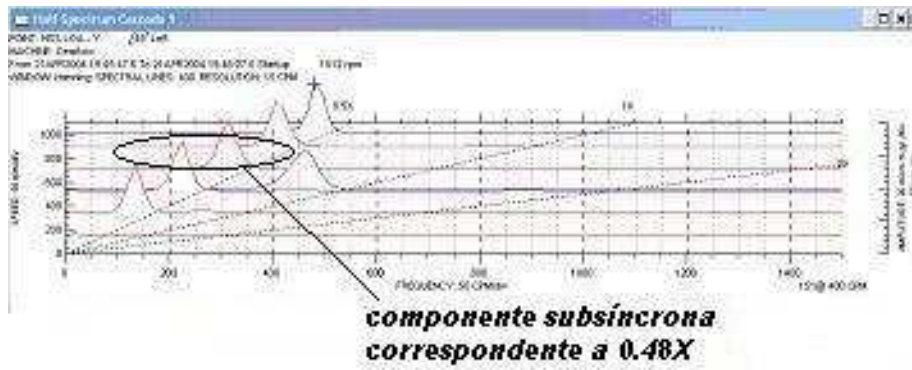


Figura 3.27: Espectro de vibração durante a partida

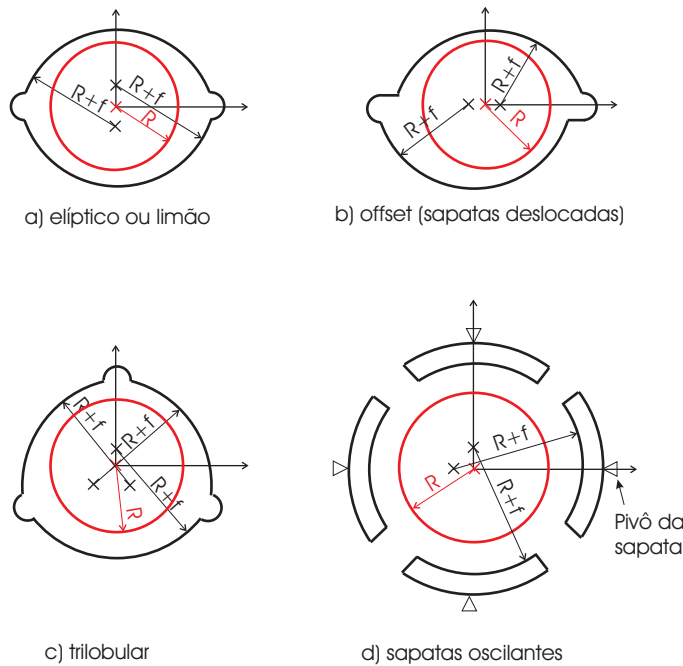


Figura 3.28: Tipos de mancal

São construídos de tal forma que os centros de curvatura de cada sapata não estão no mesmo ponto. Cada sapata é deslocada do centro do mancal de forma a tornar o filme lubrificante mais convergente ou divergente.

Um parâmetro importante para definir estes mancais é a precarga m , definida pela relação da distância do centro de curvatura da sapata e o centro do mancal e a folga do mancal. Para melhor compreensão do conceito, consideremos um munhão de raio R cujo centro coincida com o centro do mancal de raio. O maior eixo que pode ser colocado no mancal tem raio $R + f_b$, conforme ilustrado na figura 3.29, exemplificando precarga $m = 0$ e

$m = 1$. Então, a precarga será dada por

$$m = \frac{f - f_b}{f} \tag{3-84}$$

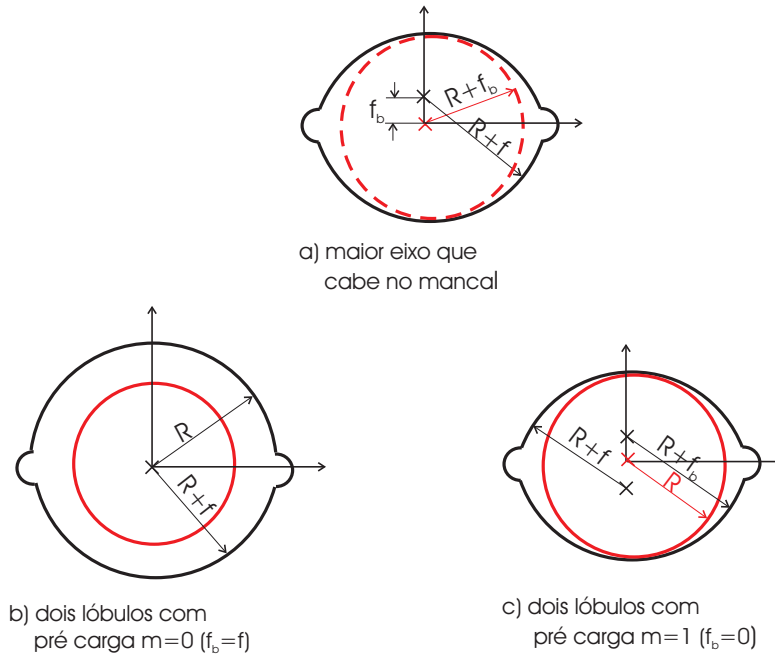


Figura 3.29: Conceito de precarga de um mancal

Os mancais de sapatas oscilantes (“*tilting pad*”) são largamente empregados na indústria. Cada sapata é pivotada, de modo que não há nenhuma reação de momento. A sapata oscila de modo que seu centro de curvatura move-se de um ângulo δ para criar um filme fortemente convergente. O pivô é posicionado no centro da sapata ou ligeiramente deslocado no sentido da borda de fuga. A razão entre a distância d do pivô à borda de ataque e o comprimento da sapata L é conhecido como fator de “*offset*” (figura 3.30).

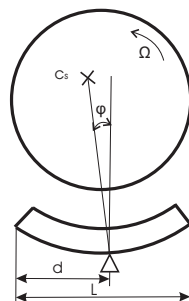


Figura 3.30: Oscilação da sapata e “offset” de um mancal

A precarga é dada pela equação 3-84 e ilustrada na figura 3.30, onde $f = R_s - R$.

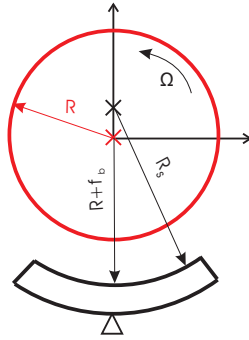


Figura 3.31: Precarga de um mancal de sapatas oscilantes

A figura 3.32 mostrada em Childs [7] compara o mapa de estabilidade de diversos tipos de mancal e pode-se notar que o tipo mais estável é o tipo “*pressure-dam*” ilustrado na figura 3.33.

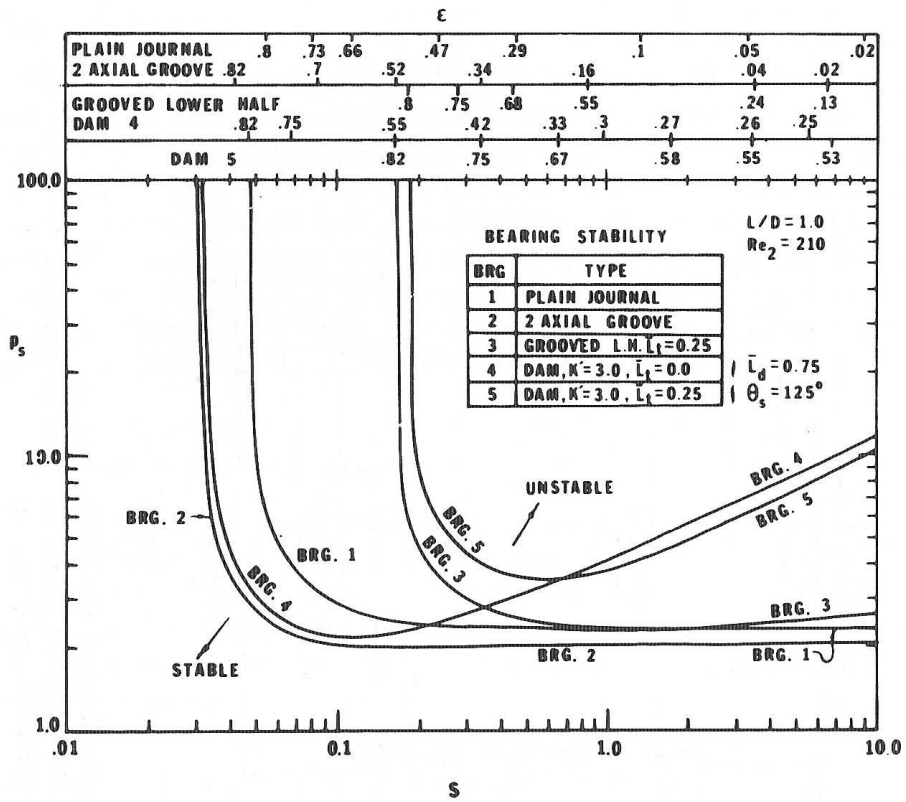


Figura 3.32: Mapa de estabilidade para diferentes projetos de mancal

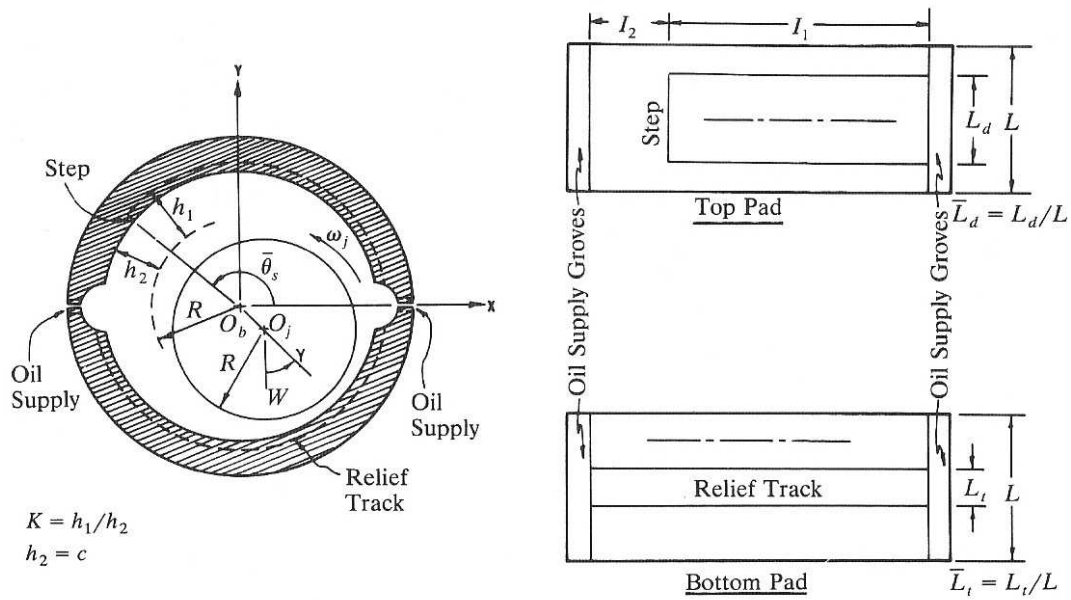


Figura 3.33: Mancal pressure-dam